

九州大学工学部 学生員 ○平田 洋
 ミ ミ 正会員 彦坂 熙
 ミ ミ 正会員 高海 兼彦

1. 緒言

薄肉開断面曲りばりにおいては、断面変形の防止およびねじり剛性の増加を図るために斜構・ストラット構構等の横つなぎ材による補剛が不可欠である。しかし、曲りばりの解析において断面剛を仮定する限り、横つなぎ材の応力と断面変形防止効果の合理的評価は困難であり、この問題の解析には通常有限要素法等による立体解析が行はわれる。これに対し本研究は、基本解析は断面剛を仮定する曲げねじり理論を行はり、横つなぎ材の断面変形防止効果を別途合理的な手法で評価し、一次元の曲りばり理論の修正により断面変形挙動を解析する手法を提示するものである。

2. 横つなぎ材をもつ曲りばりの座標系と断面変形

図1のような円柱座標系 (ρ, θ, ϕ) 中に、 N 枚の薄板要素からなる多角形開断面曲りばりを考え、中立点Cを原点とする (x, y, z) 座標系を設ける。 x, y 軸は各々 ρ, ϕ 軸に平行に定め、さらに、板厚中心線に一致する曲線座標 n と、その法線方向座標の (n, α, β) 座標系を設ける。本研究では断面変形を、図2のように薄肉多角形開断面ばりを構成する薄板の接合点(節点)において相隣る板要素がなす相対回転角 θ_i で定義する。 N 枚の薄板からなるはりの断面変形の自由度は、 $N - 3$ である。

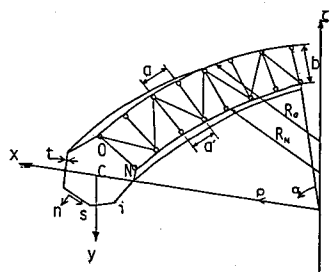


図1 補剛曲りばりの座標系

3. 断面変形のつりあい方程式

横つなぎ材をもつ薄肉開断面曲りばりについて、断面剛を仮定する準開断面曲りばりとしての変位と応力はすべて既知とすれば、断面変形によるはりの任意点の α, β 方向付加変位 η 、 ζ は次式で表わされる。

$$\begin{aligned} \dot{\zeta} &= U_s l + U_s m - l \alpha \varphi - \sum_{i=1}^{N-3} Y_{ai} M_i \theta_i \\ \eta &= -U_s m + U_s l + l_n \varphi + \sum_{i=1}^{N-3} P_{ai} M_i \theta_i \end{aligned} \quad \{ \quad (1)$$

$$\text{ただし, } M_i = \begin{cases} 1 & (i \leq s_x) \\ 0 & (i > s_x) \end{cases}$$

ここに、 U_s, M_i, φ は断面変形に伴う x, y 方向の剛体付加変位および剛体付加回転角であり、 l, m は、 $l = \cos(x, n), m = \cos(n, y)$ で定義される方向余弦、 Y_{ai}, P_{ai} はせん断中心から、また Y_{ai}, Y_{ui} は節点 i から任意点に引いた位置ベクトルの α および β 方向成分である。

構構は、力学的性質が等価な幅 t 、板厚 δ の仮想薄板に置き換えて扱う。図3 構構の仮想薄板置換この仮想薄板の曲げ剛性は0で、はり軸方向垂直応力も受け持たないが、せん断変形により軸直角方向伸縮には抵抗し、 β^* のせん断流と単位長当り P^* の α 方向軸力を受けるものとする(図3)。仮想薄板厚 δ は、構構トラス1パネルに貯えられるひずみエネルギーのうち、 β^* による仮想薄板のエネルギーをトラス部材軸力によるひずみエネルギーへ等置して定められる。

断面変形による薄板中央面でのせん断ひずみ γ_{xy} の式を板厚中心に沿って1周積分すると、軸方向変位の適合

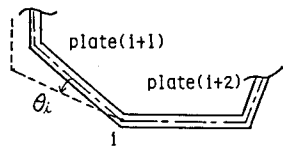
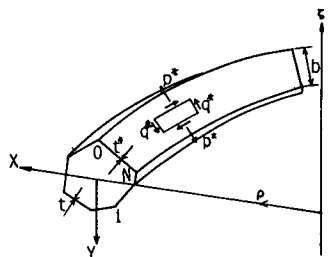


図2 断面変形の定義



条件から δ^* が次式で表わされる。

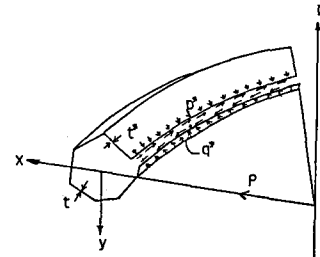
$$\delta^* = \frac{2R_s}{(R_N+R_o)} \left\{ G \cdot \frac{2\Omega}{b/t^*} \cdot \frac{1}{R_s} \left(\varphi' - \frac{V_{si}'}{R_s} \right) + \sum_{i=1}^{N-3} G \cdot \frac{R_o^2}{R_s^2} \cdot \frac{2\Omega_i}{b/t^*} \cdot \frac{1}{R_s} \cdot \theta_i' \right\} \quad (2)$$

ここに、 $2\Omega = R_o^2 \oint \frac{f_{iw}}{P^*} ds$, $2\Omega_i = R_o^2 \int_{y_i}^{y_{i+1}} \frac{v_{ni}}{P^*} ds$, R_s はせん断中心の曲率半径, G はせん断弾性係数。

他方, P^* による仮想薄板のはり軸直角方向伸びと, 断面変形によるはりと仮想薄板の η 方向相対変位の適合条件より, P^* が次式で表わされる。

$$P^* = \frac{R_o - R_N}{R_N \log(R_o/R_N)} \cdot \sum_{i=1}^{N-3} E^* \cdot \frac{r_{ni}^*}{b/t^*} \cdot \theta_i \quad (3)$$

ここに, E^* は δ^* による仮想薄板のひずみエネルギーと部材軸力のひずみエネルギーを等置して得る換算ヤニケ係数, r_{ni}^* は節点 i から仮想薄板に下した垂線の長さ。



(1)ま, 横断面 $\alpha = \alpha_{ik}$ に対する傾構を有し, 橋構を仮想薄板に置換した準開断面ばかりが任意荷重を受けて断面変形するものとする。はりと仮想薄板の接合線の一方にスリットを入れて開断面ばかりにし, スリット部に単位長さ当たり P^* の力と δ^* のせん断流を仮想薄板面内方向に外力として作用させても力学的に等価である(図4)。このとき, 式(1)の変位に基づく仮想仕事の原理から, 橋構と対傾構を有する薄肉開断面ばかりの断面変形の $N-3$ 個のつりあい方程式が次のように得られる。

$$\sum_{j=1}^{N-3} \left[\frac{1}{R_s^2} EI_{ij} \theta_j''' + \left\{ G \frac{2\Omega}{b/t^*} \left(\frac{H_{iw}}{I_{iw}} 2\Omega - \frac{K_{ij}}{R_N} 2\Omega_i \right) \frac{2}{(R_N+R_o)R_s} - E(J_{ij} + J_{2i}) \frac{1}{R_s} \right\} \theta_j'' + \left\{ f_{ij} + \frac{1}{R_s^2} E K_{ij} + E^* \frac{r_{ni}^* r_{nj}^*}{b/t^*} \cdot \frac{R_o - R_N}{R_N \log(R_o/R_N)} \right. \right. \\ \left. \left. - G \frac{4\Omega_i \cdot \delta}{b/t^*} \frac{G_{iw}}{I_{iw}(R_o+R_N)} \frac{2}{d} + \sum_{k \neq i} \frac{EA}{d} \bar{r}_{ni} \bar{r}_{kj} \delta(\alpha - \alpha_k) \right\} \theta_j \right] - \left[\left\{ \frac{P}{R_s} (P_n r_{ni} - P_k r_{kj}) + \frac{\partial g^{(i)}}{\partial x} r_{ni} + \frac{1}{R_s} Q^{(i)} \zeta (y - y_i) \right\} r_{ni} \right] d\alpha = 0 \quad (i = 1, 2, \dots, N-3) \quad (4)$$

ここに, I_{ij} , H_{iw} , f_{ij} , K_{ij} , G_{iw} は断面形状による既知関数, P_n , P_k は各々単位面積当たりの外力の η , ζ 方向成分, $Q^{(i)}$, $\zeta^{(i)}$ は断面剛の仮定に基づくはり理論による軸方向応力ヒゼン断流, E はヤニケ係数, A/d , d は各々対傾構の断面積と長さ, δ はディラックのデルタ関数, \bar{r}_{ni} , \bar{r}_{kj} は, 各々節点 i , j から対傾構に下した垂線の長さ。

4. 計算例

図5の諸元を有する2主桁曲りばかりを対象として数値計算を行なった。はりの支点では断面変形が拘束されるものとし, 部材断面積が 2.5 cm^2 の横構(図5(b)の破線部材)を $b/16$ ネル, 断面積 $A/d = 3.0 \text{ cm}^2$ の対傾構を図5(a)のように2本配置し, 横断面配置箇所数 K を $0, 1, \infty$ と変化させた。

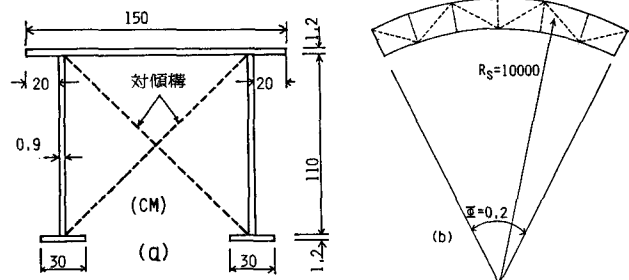


図5 2主桁曲りばかりの解析モデル

100 kg/m^2 の荷重を上フランジに満載した時の外主桁と下フランジとの接合部の水平変位・垂直変位の分布を図6に示す。

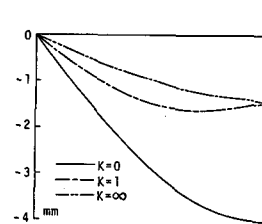


図6 外主桁下フランジ中央の水平変位(左図)と同垂直変位(右図)

